

### ( III - 17 ) 異方性弾性地山内の応力測定結果の解析法に関する再考察

山梨大学・工学部 正員。平島健一  
松江工専・土木工学科。浜野浩幹

#### 1. まえがき。

地下発電所、長大トンネル、燃料(石油)地下貯蔵のための岩盤内の大型掘削等に対する設計基本資料入手するためには、掘削前の岩盤内の応力状態を何らかの計測法により求めなければならぬ。そのため、従来から岩盤内の3次元的な初期(変動)応力を種々の方法(应力回復法、应力解放法、Hydraulic Jack法等)によって測定する事が試みられており、このデータから、設計構造物の施工位置での応力・変形状態を求めるための、"かゆき逆向題を解析しなければならぬ"。このための基本項目は対象とする地山の力学定数(弹性係数、Poisson比等)と予備的な手段で計算しておき、それを基にして初期(変動)応力の測定用のために設けたボアホールや試験トンネル等の計測器による測定データを収集し、岩盤の物理(構成式)、測定孔の幾何形状、地山表面の影響の有無等と併せて考慮して上述の逆向題を解析する事である。その場合、岩盤の物理としては一般に等質・等方の弾性体とした仮定を採用する事が普通である。これに対し、著者の一人は先に、実際の岩盤の力学的性質と正確に導入するための第一歩として、また既存の岩盤性状を考慮できるように岩盤を等質ではあるが、一般的な3次元異方性弾性体と仮定して初期(変動)応力の決定のための理論的方法を提案すると共に、具体的な数値例を挙げてその処理方法を示した。<sup>1)</sup>

上述した結果を踏んで最近、Amadeiは同様の解析過程により系統的に整理した結果を取りまとめて公刊した。<sup>2)</sup> これら両者の取扱いには一応だけ明確な差異が認められますが、それは次項以降に述べるように現場計測の過程での应力解放に際して実施すべきオーバーコアリング操作に際し、ボアホール軸方向に対するひずみ拘束の有無にある。すなわち、著者の一人(平島)は平面ひずみ拘束を仮定したのに對し、Amadeiは平面応力拘束とかけたこゝから生じたものである。これらの取り扱いの差異から生じる数値結果への影響や、どちらの方がより妥当か等について検討したものが本文の内容である。

#### 2. 解析過程の概要

まず、図1のようくボアホールの孔径に比較して十分遠方より3次元的には地山初期(変動)荷重応力  $\sigma_x^0, \sigma_y^0, \sigma_z^0$  及び  $\tau_{xy}^0, \tau_{yz}^0, \tau_{zx}^0$  を受け3次元的に均質な異方性弾性体を想定する。

異方性弾性体の構成式は一般に式で与えられる。

$$\begin{aligned} \sigma_x &= a_{11}\sigma_x + a_{12}\sigma_y + a_{13}\sigma_z + a_{14}\tau_{xy} + a_{15}\tau_{xz} + a_{16}\tau_{yz}, \\ \sigma_y &= a_{21}\sigma_x + a_{22}\sigma_y + a_{23}\sigma_z + a_{24}\tau_{xy} + a_{25}\tau_{xz} + a_{26}\tau_{yz}, \\ \sigma_z &= a_{31}\sigma_x + a_{32}\sigma_y + a_{33}\sigma_z + a_{34}\tau_{xy} + a_{35}\tau_{xz} + a_{36}\tau_{yz}, \\ \tau_{xy} &= a_{41}\sigma_x + a_{42}\sigma_y + a_{43}\sigma_z + a_{44}\tau_{xy} + a_{45}\tau_{xz} + a_{46}\tau_{yz}, \\ \tau_{xz} &= a_{51}\sigma_x + a_{52}\sigma_y + a_{53}\sigma_z + a_{54}\tau_{xy} + a_{55}\tau_{xz} + a_{56}\tau_{yz}, \\ \tau_{yz} &= a_{61}\sigma_x + a_{62}\sigma_y + a_{63}\sigma_z + a_{64}\tau_{xy} + a_{65}\tau_{xz} + a_{66}\tau_{yz}, \end{aligned}$$

(直交異方性弾性体の係数の  $a_{ij}$ ):

$$\begin{aligned} a_{11} &= \frac{1}{E_1}, & a_{22} &= \frac{1}{E_2}, & a_{33} &= \frac{1}{E_3}, & a_{12} &= -\frac{\nu_{12}}{E_1} = -\frac{\nu_{21}}{E_2}, \\ a_{13} &= -\frac{\nu_{13}}{E_1} = -\frac{\nu_{31}}{E_3}, & a_{23} &= -\frac{\nu_{23}}{E_2} = -\frac{\nu_{32}}{E_3}, & a_{44} &= \frac{1}{G_{12}}, \\ a_{33} &= \frac{1}{G_{23}}, & a_{45} &= \frac{1}{G_{13}}, & \text{その他の } a_{ij} &= 0, \end{aligned}$$

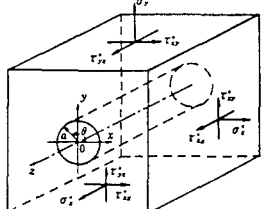


図1. 三次元応力状態のもとでの円形ボアホールを有する弾性体

$E_1, E_2, E_3$  は主弾性係数、  $G_{12}, G_{23}, G_{13}$  はせん断弾性係数であり、  $\nu_{ij}$  は Poisson 比である。このようには地山内に初期(変動)応力測定用の円形ボアホール(半径  $a$ )と前削した場合、その孔近傍の応力および変位は図1に示した直交座標系( $x, y, z$ )を用いて表示すれば次式で与えられる。

$$\sigma_x = \sigma_x^0 + 2Re[\mu_1\Phi_1'(z_1) + \mu_2\Phi_1'(z_2) + \mu_3\Phi_1'(z_3)],$$

$$\sigma_y = \sigma_y^0 + 2Re[\Phi_1'(z_1) + \Phi_1'(z_2) + \lambda_1\Phi_1'(z_3)],$$

$$\sigma_z = \sigma_z^0 - \frac{1}{a_{33}}(a_{13}\sigma_x^0 + a_{23}\sigma_y^0 + a_{33}\tau_{xy}^0 + a_{33}\tau_{xz}^0 + a_{33}\tau_{yz}^0),$$

$$\tau_{xy} = \tau_{xy}^0 - 2Re[\mu_1\Phi_1'(z_1) + \mu_2\Phi_1'(z_2) + \mu_3\Phi_1'(z_3)],$$

$$\tau_{xz} = \tau_{xz}^0 + 2Re[\mu_1\lambda_1\Phi_1'(z_1) + \mu_2\lambda_2\Phi_1'(z_2) + \mu_3\Phi_1'(z_3)],$$

$$\tau_{yz} = \tau_{yz}^0 - 2Re[\lambda_1\Phi_1'(z_1) + \lambda_2\Phi_1'(z_2) + \Phi_1'(z_3)],$$

$$u = u^0 + 2Re[\sum_{k=1}^3 p_k\Phi_k(z_k)],$$

$$v = v^0 + 2Re[\sum_{k=1}^3 q_k\Phi_k(z_k)],$$

$$w = w^0 + 2Re[\sum_{k=1}^3 r_k\Phi_k(z_k)],$$

$$Z_R = X + \mu_R Y, (R=1, 2, 3)$$

